

用电子能谱技术研究 LaNi_5 的表面状态

虞心南 谢 侃 张青哲 林彭达

(中国科学院物理研究所)

1981年2月28日收到

目前，有关稀土-过渡金属间化合物 LaNi_5 的晶体结构、化学组成及吸氢特性的研究已有许多报道^[1]，并在一些国家作为储氢材料开始应用。

本文主要叙述在美国 PHI φ550 联合装置上用 AES (俄歇电子能谱)和 XPS (X 射线光电子谱)研究 LaNi_5 的表面物理、化学状态及其过程，为探明此类材料的活化和吸氢机制提供实验依据。

一、试验结果及分析

对样品采用通常使用的制备方法和活化条件，同时测试了吸氢性质^[2]。

1. 表面成分

我们用 AES 测量 LaNi_5 的表面组成。其

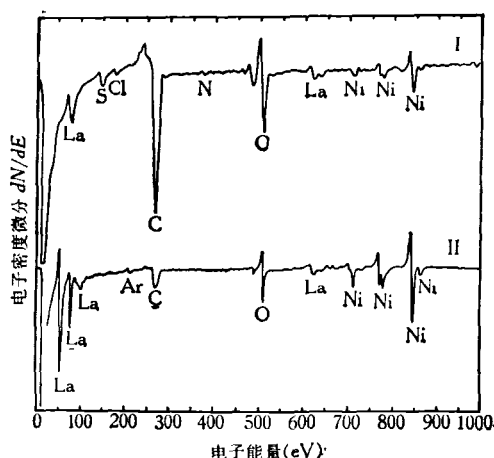


图 1 室温处理 LaNi_5 ，用氩离子剥离前后的 AES 谱
I——剥离前； II——剥离十分钟后

测量条件是：入射电子束能量为 3keV，束流 $20\mu\text{A}$ ，调制电压 6eV；倍增器电压为 850V；时间常数 0.01 秒，灵敏度 $40\times$ ；测量时真空度为 $2-3 \times 10^{-9}$ 托；氩离子束电压 1.8kV，离子束流 20mA，剥离时的真空度 2×10^{-7} 托。

图 1 是测得的 LaNi_5 AES 谱。由图可见，试样表面杂质有碳、氧、氮、硫和氯，其中以碳、氧污染为主。

剥离后的 AES 谱表明，大部分碳以吸附态(或以表面化合物)存在于表面。然而，剥离后的氧峰仍然较强，可见除部分氧存在于表面之外，有相当部分氧以相应的氧化物存在于体内(详细讨论见后)。若处理温度越高，形成的氧化物越多，渗入体内越深。例如，室温时体内氧原子浓度为 3—4%，经过 500℃ 处理后，氧原子浓度达到 ~26%。

2. 表面分凝

将 LaNi_5 样品分别以室温 200℃ 和 500℃ 加热处理五分钟(真空度 $\sim 10^{-5}$ 托)，并用氩离子作深度剥离，得图 2，其中横坐标为剥离时间

表 1

编 号	样品处理情 况 (LaNi_5 活化前)	表面原子百分比				备注
		铜	镍	氧	La/Ni	
1	室温($\sim 28^\circ\text{C}$)	21.0	35.5	43.5	0.59	加热处理 时真空度 $\sim 10^{-5}$ 托
2	200℃, 5 分钟	29.0	46.0	25.0	0.63	
3	500℃, 5 分钟	32.0	23.0	45.0	1.39	
4	700℃	36.0	21.0	43.0	1.71	
5	900℃	60.0	5.0	35.0	12.0	

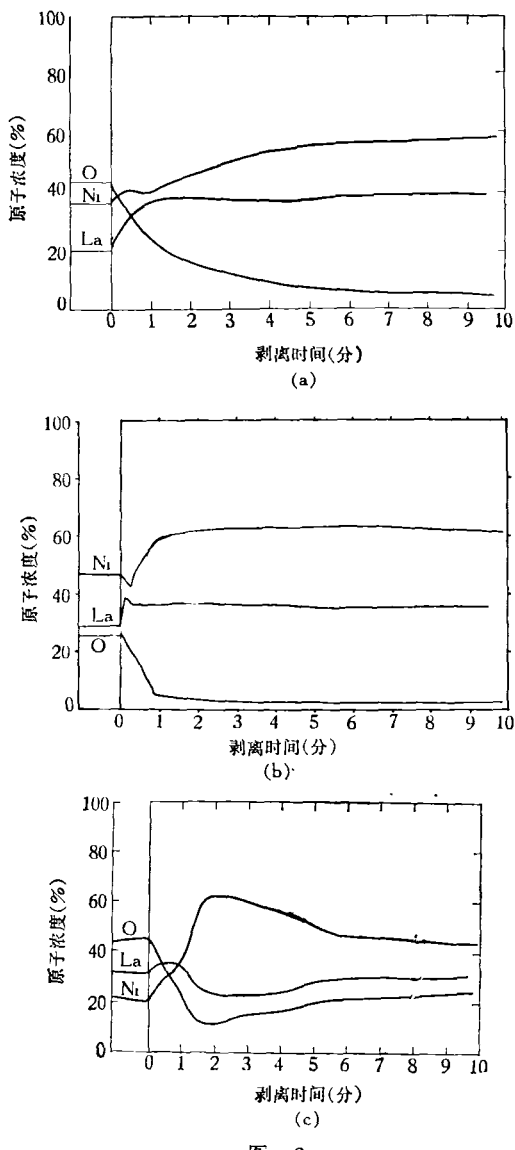


图 2

(a) 室温处理 LaNi_5 的 AFS 剖面;
 (b) 200°C 处理 LaNi_5 的 AES 剖面;
 (c) 500°C 处理 LaNi_5 的 AES 剖面

(分)¹⁾, 纵坐标为镧、镍和氧的原子浓度百分比。将不同温度处理后测得的镧、镍和氧表面原子浓度列于表 1。

由图 3 看出, 镧在表面的分凝随温度升高而增加。分凝结果, 镧富集于最表层, 由于镧分凝到表层, 因此次表层里镧的含量相对减少, 而镍含量相对增加, 次表层由于镍的富集而称为富镍层。环境温度高低影响富集层厚度。

LaNi_5 活化期间, 晶格参数发生显著变化,

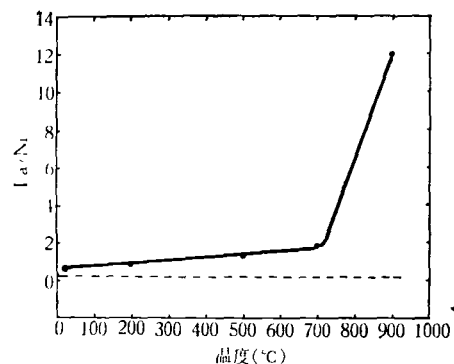
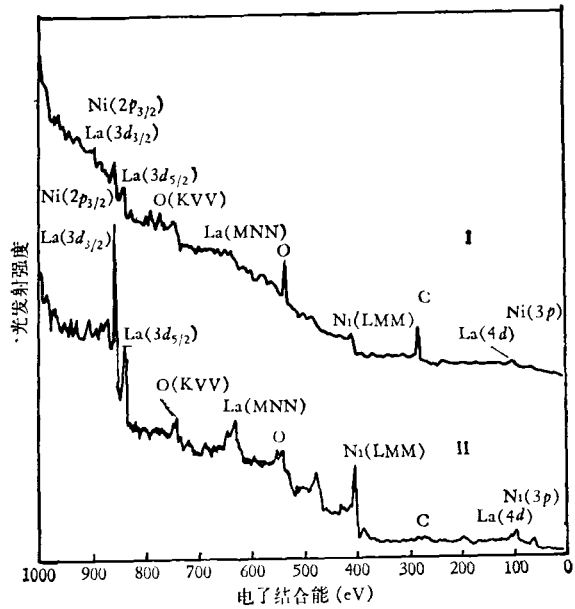


图 3 镧的表面分凝与温度的关系

晶胞体膨胀达 27%, 迫使块状破碎, 给出约 $0.25\text{m}^2/\text{g}$ 的表面积, 巨大的表面为镧的分凝提供了有利条件。据我们初步测量, 未活化 LaNi_5 的表层中 La/Ni 是 0.59, 经过活化处理后, 分凝加剧, La/Ni 迅速增加到 3.17 左右。

氢化过程中的吸放热循环和样品的进一步粉碎, 促使镧继续分凝。例如, 作了近一百个吸放氢循环之后, 在表层中 La/Ni 增大到 4.35, 约比一个吸放氢循环的分凝量增加了 37% 左

图 4 剥离前、后 LaNi_5 的 XPS 全谱

I——剥离前; II——剥离后

1) 国外有人用已知厚度的 Ta_2O_5 膜作溅射厚度校正。但是, 由于样品与 Ta_2O_5 的原子序数不同, 其溅射速率差异很大, 故用它来校正并不理想。溅射厚度的校正试验, 作者正在进行中。

右。

3. 表面化合物

我们用 XPS 的测量条件是：以 $MgK\alpha$ 辐射作光源；电压 10kV，电流 40mA，通能 50eV；倍增器电压 2345eV；时间常数为一秒。

图 4 是 $LaNi_5$ 的 XPS 全谱，其中有镧、镍、氧等谱峰，经剥离后，镧、镍谱峰更为清晰，并与 AES 谱相对应。

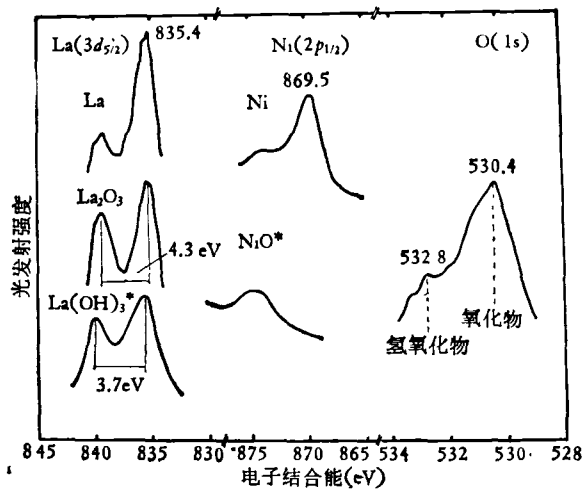
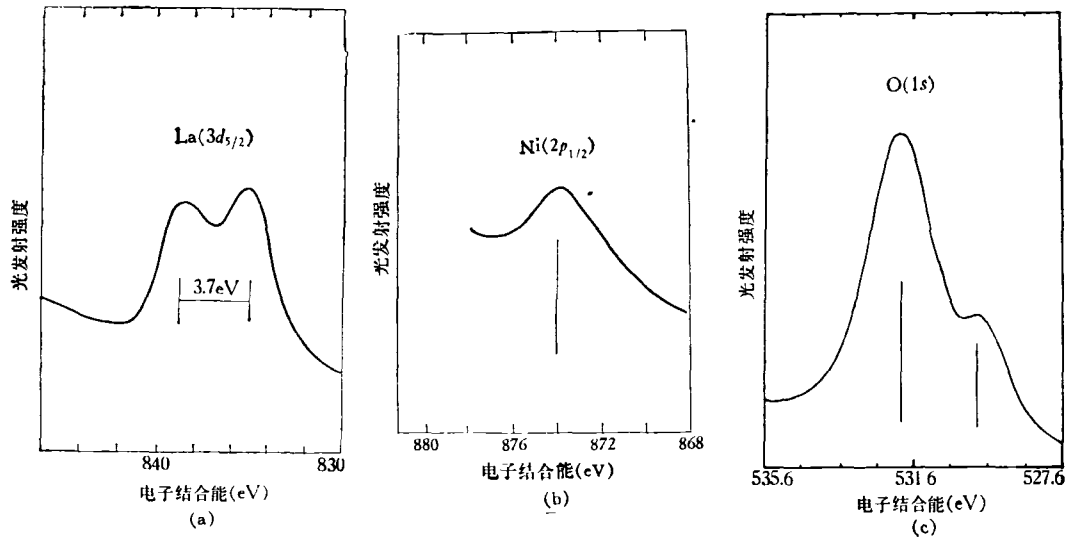


图 5 $La(3d_{5/2})$, $Ni(2p_{1/2})$, $O(1s)$ 标准谱

图 5 是测得的 $La(3d_{5/2})$, $Ni(2p_{1/2})$ 和 $O(1s)$ 的 XPS 标准谱图（其中带 * 号的谱引自参考文献 [3]）。



(a) $LaNi_5$ 的 $La(3d_{5/2})$ 谱；(b) $LaNi_5$ 的 $Ni(2p_{1/2})$ 谱；(c) $LaNi_5$ 的 $O(1s)$ 谱

由 $LaNi_5$ 测得的 $La(3d_{5/2})$ $Ni(2p_{1/2})$ 和 $O(1s)$ 的 XPS 谱图 6。与标准谱比较，图 6(a) 给出的 $La(3d_{5/2})$ 分裂峰与标准氢氧化镧 $La(3d_{5/2})$ 的分裂峰间距 3.7eV 相对应；图 6(b) 给出的 $Ni(2p_{1/2})$ 峰的电子结合能是 874eV [实测金属态镍 $Ni(2p_{1/2})$ 的电子结合能为 869.5eV], $Ni(2p_{3/2})$ 的电子结合能为 855.8eV, [实测金属态镍 $Ni(2p_{3/2})$ 的电子结合能是 852.5 eV], 与标准谱中 NiO 的 $Ni(2p_{1/2})$ 峰相吻合，说明镍处于氧化态。图 6(c) 中 $O(1s)$ 出现双峰，分别约为 530eV 和 532.5eV，与图(5)比较，前者为氧化物峰，后者为氢氧化物峰，氧的化合态与镧、镍的分析结果完全一致。因此，不难确定 $LaNi_5$ 的主要表面化合物分别是氢氧化镧和一氧化镍。

由图 7 看出，剥离后，四个部位上 $La(3d_{5/2})$ 的化学位移由 3.7eV 变到 4.1eV，与标准氧化镧相一致。可见分凝到表层的镧被氧化，吸湿成为氢氧化物，次内层呈氧化物。

$Ni(2p_{1/2})$ 由 874eV 位移到 869.2eV，为金属态镍。此外， $La(3d_{3/2})$ 和 $Ni(2p_{1/2})$ 的峰高比随深度变化，可以认为是由于它们结合状态的不同。 $O(1s)$ 的 529 eV 和 531.8eV 峰比值的变化和镧、镍分析一致。氧峰的分裂是由于氧与其它元素的键合状态或它所处的化学环境

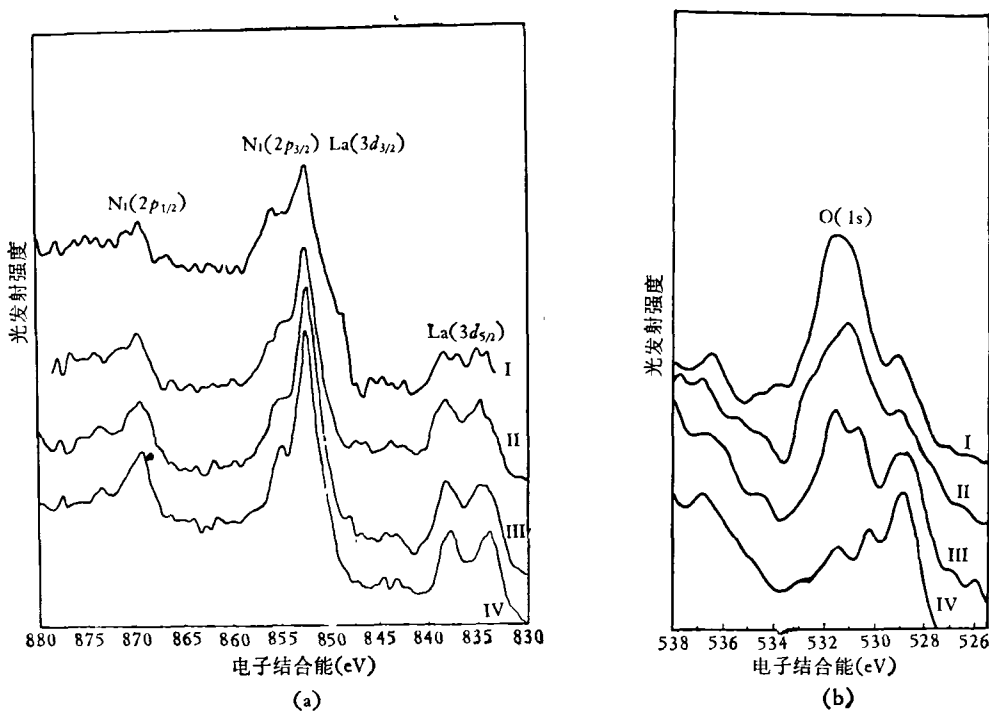


图 7

(a) 剥离 30'', 1', 3', 10' 四个部位的镧、镍谱;
氢离子剥离: I—30'' II—1' III—3' IV—10'

(b) 剥离 30'', 1', 3', 10' 四个部位的氧谱
氢离子剥离: I—30'' II—1' III—3' IV—10'

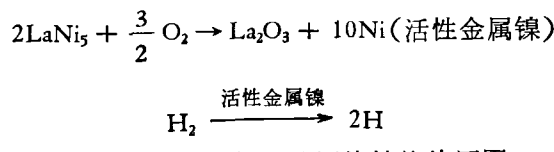
变化的缘故。

二、讨论与小结

1. LaNi_5 表面杂质主要是碳和氧，碳是表面污染，氧除形成表面化合物外，还渗入体内。

2. 实验结果表明，镧在室温下会分凝，加温加速了它在表面的分凝；活化后样品高度粉碎；氢化时的吸放热过程是镧分凝的又一原因。分凝结果，最表层为富镧层，次表层为富镍层。

3. 镧极易氧化，分凝到表面上的镧很容易夺走吸氢时的毒物，从而保护了镍的催化活性，确保氢分子的催化分裂，其反应如下：



这就是 LaNi_5 具有较强抗污染性能的原因。

4. XPS 结果得出， LaNi_5 表面上镧呈氢氧

化镧，镍呈一氧化镍；次表层镧呈氧化镧、镍呈金属态。表面上的氧化膜阻隔氢与样品的接触，尤其是与镍的接触，因此活化过程需要较高的氢压和较长的孕育期，其作用可能是高压氢对氧化膜的还原和加速氢的扩散，一旦完成上述过程，便发生以下氢化反应：



由于活化时样品破碎至微米级，给出了巨大的新鲜表面，为样品全部活化提供了条件，活化后粉状 LaNi_5 表面是极其清洁的，它的吸氢不再需要较高的氢压和漫长的孕育期。

作者感谢杨中兴同志帮助处理样品。

参 考 文 献

- [1] F. A. Kuijpers, *Philips Research Reports Supplements*, 2(1973), 19.
- [2] 伍乃娟、虞心南、齐上雪、沈电洪、戴守愚，真空技术，3(1980)，1—7.
- [3] J. Brunner, M. Thüler, *Hele. Phys. Acta*, 50 (1977), 142.